

Bioinformatic Prediction of Non-Coding Genes related to the Mouse FGF8, NOG, and BMP4 Ectodermal Differentiation Pathway Genes and Mapping of Related Network

Somayeh Moghaddam¹ , Esmaeil Babaei^{1*} 

¹ Dept of Animal Biology, School of Natural Sciences, University of Tabriz, Tabriz, Iran

Article Info

Article type:
Research article

Article History:

Received: 08 March 2021

Revised: 05 May 2021

Accepted: 11 October 2021

*** Correspondence to:**

Esmaeil Babaei
Dept of Animal Biology, School
of Natural Sciences, University of
Tabriz, Tabriz, Iran
Email: babaei@tabrizu.ac.ir

A B S T R A C T

Introduction: Long non-coding RNAs (lncRNAs) and miRNAs belong to a class of non-coding RNAs (ncRNAs) that play important roles and functions in the regulation of the expression of genes in main biological processes, such as cell proliferation, apoptosis, and differentiation. lncRNAs can potentially affect miRNAs in the forms of cis/trans to modulate their regulatory role. In this study, mRNA, miRNA, and lncRNA gene networks were predicted by web-based programs for three ectodermal pathway markers (BMP4, NOG, FGF8) in the mouse embryonic stem cells.

Material & Methods: In this theoretical bioinformatics study, the miRNAs of the target genes (BMP4, NOG, and FGF8) were extracted and examined by MirWalk and TARGETSCAN databases to finally obtain the common miRNAs of these three genes. Following that, the target lncRNAs for common miRNAs were then extracted from the DIANA-Tool database.

(Ethic code: 100/21560/2/_)

Findings: MiRs mmu-miR-92a-2-5p, mmu-miR-129b-5p, mmu-miR-130b-5p, mmu-miR-692, mmu-miR-7009-3P, mmu-miR-7116-3p, and mmu-miR-7689-3p may affect the function of lncRNAs, including Kcnq1ot1, Gm26812, Gm4117, Gm11837, 4930423MO2Rik, Malat1, Gm12594, Gm3414, 5830444B04Rik, Gm2464, and NEAT1.

Discussion & Conclusion: Due to the mutual relationships among lncRNA, miRNA, and mRNA, our results provided a novel perspective on lncRNAs for future research and experimental studies on ectodermal differentiation pathways and molecular mechanisms.

Keywords: Bioinformatics, Biological system, BM4, Ectoderm, FGF8, Non-coding RNAs

➤ How to cite this paper

Moghaddam S, Babaei E. Bioinformatic Prediction of Non-Coding Genes related to the Mouse FGF8, NOG, and BMP4 Ectodermal Differentiation Pathway Genes and Mapping of Related Network. Journal of Ilam University of Medical Sciences. 2022;30(1): 29-41.



© The Author(s)

Publisher: Ilam University of Medical Sciences

پیشگویی بیوانفورماتیکی ژن‌های غیر کدکننده مرتبط با ژن‌های مسیر تمایز اکتودرمی موشی و ترسیم شبکه ارتباطی آن‌ها

سمیه مقدم^۱، اسماعیل بابایی^{۱*}

^۱ گروه علوم جانوری، دانشکده علوم طبیعی، دانشگاه تبریز، تبریز، ایران

چکیده

نوع مقاله: پژوهشی

تاریخ دریافت: ۱۳۹۹/۱۲/۱۸

تاریخ داوری: ۱۴۰۰/۱۲/۱۵

تاریخ پذیرش: ۱۴۰۰/۰۷/۱۹

مقدمه: miRNAها و lncRNAها دسته‌ای از RNAهای غیر کدکننده هستند که نقش و عملکردهای مهمی در تنظیم بیان ژن‌ها و فرایندهای اصلی بیولوژیکی از جمله تکثیر سلولی، آپیتوز و تمایز دارند. lncRNAها می‌توانند به طور بالقوه روی miRNAها، در جهت همسو یا معکوس بر فعالیتشان تأثیر بگذارند تا این طریق، نقش تنظیم کننده‌ی آن‌ها را تعديل کنند. در این مطالعه، شبکه‌های ژنی mRNA-miRNA-lncRNA با استفاده از برنامه‌های آنلاین برای سه مارکر مسیر اکتودرمی (BMP4, NOG, FGF8) در سلول‌های بنیادی جنینی موشی ترسیم شد.

مواد و روش: این مطالعه از نوع ثوریکال بیوانفورماتیکی است و mRNAها و miRNAها هدف ژن‌های BMP4 و NOG و FGF8 توسط پایگاه‌های داده‌ای TARGETSCAN و MirWalk استخراج و بررسی گردید تا درنهایت، بتوان mRNAهای مشترک این ۳ ژن را تهیه کرد؛ سپس از پایگاه داده‌ای DIANA-Tools lncRNAهای هدف برای mRNAهای مشترک به دست آمد.

یافته‌ها: ژن‌های mmu-miR-130b-5p, mmu-miR-129b-5p, mmu-miR-92a-2-5p, mmu-miR-7689-3p و mmu-miR-7116-3p ممکن است بر فعالیت mRNAهای mmu-miR-7009-3P, .692 Malat1, Gm11837.4930423MO2Rik, Gm4117, Gm26812, Kcnq1ot1 lncRNA اثر بگذارند.

NEAT1, Gm2464, Gm3414.5830444B04Rik, Gm12594 و NEAT1 اثر بگذارند.

بحث و نتیجه‌گیری: با توجه به ارتباط متقابل lncRNA، miRNA و mRNA، مطالعه‌ما یک نقش جدید از lncRNAها را برای تحقیقات آینده و مطالعات تجربی درباره مسیر تمایز اکتودرمی و سازوکارهای مولکولی فراهم می‌کند.

واژه‌های کلیدی: بیوانفورماتیک، سامانه بیولوژی، RNAهای غیر کدکننده، FGF8، BMP4، اکتودرم،

استناد: مقدم، سمیه؛ بابایی، اسماعیل. پیشگویی بیوانفورماتیکی ژن‌های غیر کدکننده مرتبط با ژن‌های مسیر تمایز اکتودرمی FGF8، NOG و BMP4 موشی و ترسیم شبکه ارتباطی آن‌ها. مجله علمی دانشگاه علوم پزشکی ایلام، اردیبهشت ۱۴۰۱؛ ۳۰(۱): ۴۱-۲۹.



در لایه‌های سه‌گانه جنینی، لایه اکتودرمی، اندودرمی و مزودرمی را دارند؛ اما توانایی به وجود آوردن یک موجود زنده کامل را ندارند و این امر از طریق فرایندی به نام تغییرات بیان ژن‌ها رخ می‌دهد. تنظیم بیان ژن از طریق سیگنال‌های مشخصی در داخل و خارج از سلول‌ها رخ می‌دهد (۵). در فرایند تمایز سلول‌های بنیادی جنینی به لایه زیایی اکتودرم، ژن‌های بسیاری دخیل هستند که در این مقاله ژن‌های BMP4، NOG و FGF8 بررسی شده‌اند که در ریخت‌زایی، رگ‌زایی، رشد و تکامل بسیاری از بافت‌های بدن و ساخت برخی سلول‌های تخصصی مشتق‌یافته از لایه زایا نقش دارند. BMP4 (پروتئین مورفولوژیک استخوانی) عضوی از خانواده بزرگ تبدیل‌کننده فاکتور رشد (TGF- β) است که پروتئین‌های درون‌سلولی Smad (واسطه‌های داخل سلولی BMP‌ها) را فعال می‌کنند و سپس از این طریق، بیان ژن را تنظیم می‌نمایند (۶). Noggin یکی از آنتاگونیست‌های خارج سلولی مسیر سیگنالینگ پروتئین BMP است که با اتصال محکم به BMP، مانع اتصال BMP‌ها به گیرنده‌های ایشان در سطح سلولی می‌شود و از این طریق، از فعال شدن گیرنده‌های آن‌ها جلوگیری می‌کند (۷). FGF8 به عنوان یک عامل منشأ سلول‌های اپی‌تیالی (بافت پوششی) در نظر گرفته شده است که بیان ژن را تنظیم می‌نماید (۸). در تنظیم بیان این ژن‌ها عوامل مختلفی دخیل هستند؛ از جمله می‌توان به RNA lnc و miRNA اشاره کرد. به تازگی مخصوص شده است که نواحی غیر‌کدکننده یا RNA های غیر‌کدکننده طولانی، رونوشت‌های ترجمه‌نشده‌ای به طول ۲۰۰ نوکلئوتید هستند که بسیاری از مشخصات ساختاری mRNA‌ها از جمله یک دم پلی A، کلاهک 5' و یک ساختار پرموتر دارند. این RNA‌ها مختص به بافت ویژه‌ای هستند و عملکرد تخصصی مختص به همان بافت را دارند که در حین رشد بیان می‌شوند و تنظیم کننده‌های اصلی پرتوانی رویانی (Embryonic pluripotency)، تمایز (Differentiation)، الگوسازی محورهای بدنی، جلوگیری از محورهای تکوینی، تغییرات هیستونی، خاموشی ژن، سیگنال‌های آدنیلاسیون و در فاکتورهای مؤثر بر رونویسی تأثیر دارند (۴، ۳).

از آنجاکه ژن‌ها به طور جداگانه عمل نمی‌کنند، می‌توان آن‌ها را بر اساس فعل و انفعالات در «شبکه»‌ها دسته‌بندی کرد. این یک فرضیه جدید، معروف به فرضیه CeRNA است که سالمنا و همکارانشان در سال ۲۰۱۱ ارائه کردند. شبکه‌های CeRNA از mRNA‌های رمزگذار پروتئین و ncRNA‌هایی مانند miRNA و IncRNA‌ها تشکیل شده است (۱).

ژن‌های کدکننده پروتئین تنها بخش کوچکی از ژنوم انسان را تشکیل می‌دهند و بخش اعظمی از توالی‌های ژنومی از نظر رونویسی خاموش هستند؛ اما مشاهدات اخیر نشان‌دهنده وجود توالی‌های عملکردی مهمی شامل RNA‌های غیر‌کدکننده است که دسته‌ای از RNA ها هستند که به پروتئین‌های عملکردی ترجمه نمی‌شوند. اکنون به طور گسترده پذیرفته شده است که بخش غیر‌کدکننده ژنوم نقش مهمی در توسعه زیست‌شناسی، تعیین سرنوشت سلول و درمان بیماری‌ها دارد (۲). non-coding RNA‌های غیر‌کدکننده یا RNA lncRNA long non-coding RNA، snRNA، circular RNA، RNA miRNA و ... تقسیم‌بندی کرد. RNA lncRNA یا RNA های غیر‌کدکننده طولانی، رونوشت‌های ترجمه‌نشده‌ای به طول ۲۰۰ نوکلئوتید هستند که بسیاری از مشخصات ساختاری RNA lncRNA از جمله یک دم پلی A، کلاهک 5' و یک ساختار پرموتر دارند. این RNA های مختص به بافت ویژه‌ای هستند و عملکرد تخصصی مختص به همان بافت را دارند که در حین رشد بیان می‌شوند و تنظیم کننده‌های اصلی پرتوانی رویانی (Embryonic pluripotency)، تمایز (Differentiation)، الگوسازی محورهای بدنی، جلوگیری از محورهای تکوینی، تغییرات هیستونی، خاموشی ژن، سیگنال‌های آدنیلاسیون و در فاکتورهای مؤثر بر رونویسی تأثیر دارند (۴، ۳).

سلول‌های pluripotent (پرتوان)، نوعی از سلول‌های بنیادی هستند که توانایی تمایز یافتن به بافت‌های موجود

سلولی و آپوپتوزیس، تمایز سلولی و پاسخ به استرس و بیان ژن‌ها را پس از رونویسی از طریق تجزیه mRNA یا مهار ترجمه آن‌ها کنترل می‌کنند^(۳). سامانه بیولوژی علمی است که بهمنظور پیوند اطلاعات پیچیده ژنی و پروتئینی به داده‌های متابولیکی تلاش می‌نماید تا یک سامانه جامع نرم‌افزاری در زمینه بیانفورماتیکی به وجود بیاورد. امروزه، با تولد این شاخه از علم در زمینه سلامت و بیماری‌های ژنتیکی و سرطان، پژوهشگران امیدوارند بتوانند همه اتفاقاتی را که در سلول‌های بیمار و سالم اتفاق می‌افتد، الگوسازی و باهم مقایسه کنند تا به علت اصلی بیماری‌ها و درمان آن‌ها پی ببرند. بیماری‌های پیچیده نتیجه هم‌افزایی‌های ژن‌های متعدد و ارتباط آن‌ها با RNA‌ها است؛ بنابراین، ما باید سازوکار بیماری‌ها را در سطح سامانه بیولوژی بررسی کنیم^(۹). سامانه بیولوژی شامل موضوع‌هایی از جمله آنالیز شبکه‌های مختلف است که از مهم‌ترین این شبکه‌ها می‌توان به شبکه‌های ژنی، شبکه‌های برهم‌کنش پروتئین‌ها، شبکه‌های متابولیسمی و شبکه‌های سیگنالی اشاره کرد. برای الگوسازی هر کدام از این شبکه‌ها، با توجه به ویژگی‌هایی که هر کدام از آن‌ها دارند، از روش‌ها و الگوریتم‌های خاصی استفاده می‌کنند؛ اما نکته مهم این است که درنهایت، هدف سامانه بیولوژی رساندن به یک الگوی واحد و کشف ارتباطات میان این شبکه‌ها و نقش آن‌ها در حیات سلولی، ارتباطات بین سلولی، شرایط محیطی و درنهایت، پاسخ موجودات به تغییرات محیطی است^(۱۰)؛ بنابراین، هدف از این تحقیق استفاده از داده‌های منتشرشده در پایگاه داده و سایت‌های پیش‌بینی مختلف و با بهره‌گیری از سامانه بیولوژی است تا بتوان به ترسیم و آنالیز شبکه‌های مولکولی mRNA-LncRNA اقدام کرد.

مواد و روش‌ها

به‌طورکلی، پژوهش انجام‌گرفته از نوع تئوری بیانفورماتیک است. در طول ۱۵ سال اخیر، بر اساس معیارهای زیستی مشخصی، بسیاری از ابزارهای

بیانفورماتیک برای پیش‌بینی برهم‌کنش mRNA:miRNA و mRNA:LncRNA ایجاد شدند. این ابزارها به‌منظور تشخیص سریع و صحیح هدف‌های miRNA‌ها با lncRNA‌ها و نقش‌های مهم سلولی ایجاد گردیدند و این امر را ممکن ساختند که عملکرد این اهداف شناخته و در الگوهای زیستی تأیید شود.

پایگاه داده TargetScan در TargetScan می‌توان از علامت ژن و یا نام اختصاصی گونه برای جستجو استفاده کرد. برای هر رونوشت ژنی، مکان‌هایی با احتمال اتصال بالاتر و پایین‌تر برای اتصال به miRNA نمایش داده می‌شود. از سویی، جستجو کردن نام miRNA در بردارنده نتایجی است که نشان می‌دهد که کدام رونوشت از کدام ژن می‌تواند هدف miRNA مزبور قرار گیرد^(۱۱). در سال ۲۰۰۹، الگوریتمی به نام PCT طراحی شد که در واقع، یک روش تقویت‌شده برای بررسی کمی میزان حفاظت شدگی سایت بود و میزان آن برای هریک از انواع Seed‌ها محاسبه شده است. در واقع، PCT عددی بین ۰ و ۱ است و با میزان ناپایداری mRNA ارتباط دارد و یک معیار مناسب برای ارزیابی فراوانی زیستی برهم‌کنش‌های پیش‌بینی شده به شمار می‌رود^(۱۲). در نسخه نهایی، ۱۴ ویژگی مهم اساس بررسی‌ها قرار گرفت و تحت عنوان «مدل Context++» از میزان هدف-گیری miRNA نامیده شد که مقادیری بین ۱ و -۱ دارد^(۱۳). این ویژگی‌ها در Score PCT و Context ++ Score مکمل یکدیگرند. بر اساس همین، در TargetScan معیار انتخاب محتمل‌ترین برهم‌کنش معمولاً مقادیر Context ++ و PCT است و در مواردی که میزان برابری از هر کدام از این الگوریتم‌ها برای یک برهم‌کنش گزارش شده باشد، الگوریتم دیگری باید ملاک انتخاب قرار گیرد^(۱۱)؛ بنابراین، از این سایت برای پیدا کردن miRNA‌های هدف ژن‌های NOG، BMP4، FGF8 در Mus_musculus استفاده شد.

پایگاه داده MirWalk ابزار بیانفورماتیکی است که وسیع ترین مجموعه از برهم‌کنش‌های

سناریوهای تحقیق را پوشش می‌دهند. وبسایت DIANA به صورت یک مرحله‌ای برای تجزیه و تحلیل miRNA‌ها آماده شده است. فرد با استفاده ترکیبی از برنامه‌های مختلف از مجموعه DIANA می‌تواند به بسیاری از جنبه‌های مختلف تنظیم miRNA و عملکردهای ناظری، بدون نیاز به تخصص گسترده بیوانفورماتیکی یا زیرساخت‌های محاسباتی بپردازد (۱۵).

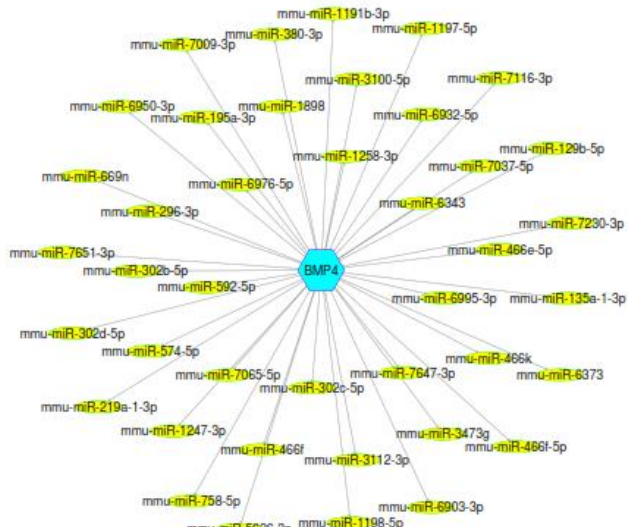
ترسیم شبکه ژنی؛ در این مرحله، بر اساس ارتباط ژن‌های یادشده با miRNA، هدف خود، با استفاده از مجموعه داده‌های حاصل از سایت‌های Target Scan و mRNA-miRNA-MirWalk، شبکه برهمنش ژن‌های miRNA با استفاده از نرم‌افزار Cytoscape IncRNA ترسیم شد.

یافته‌ها

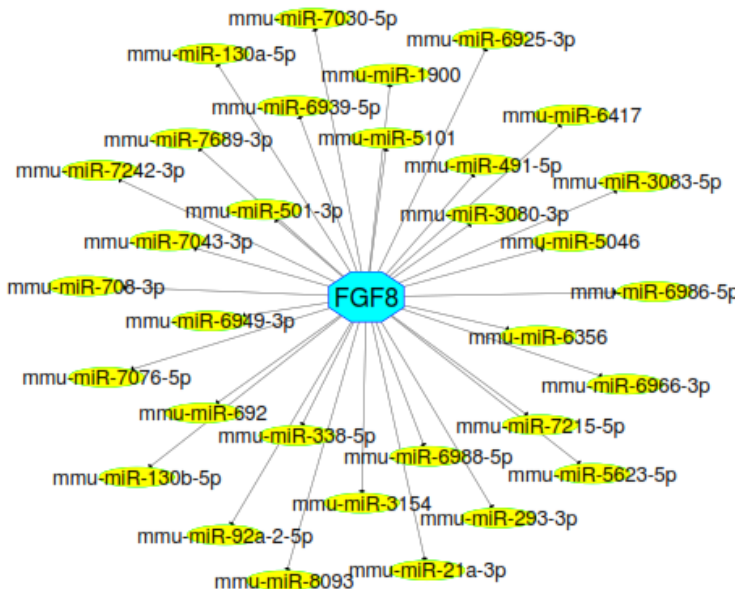
برای انجام این بررسی، در ابتدا نتایج پیش‌بینی برای BMP4 در دو پایگاه (MirWalk و TargetScan) بررسی گردید. در مرحله اول، همه miRNA‌های هدف برای ژن BMP4 در سایت TargetScan و MirWalk انتخاب شد؛ سپس miRNA‌های مشترک میان دو پایگاه داده با استفاده از نرم‌افزار Cytoscape انتخاب و شبکه ژنی مربوطه ترسیم گردید (شکل شماره ۱).

پیش‌بینی شده و تأیید شده میان miRNA و هدف‌های آنها (۹۴۹ میلیون برهمنش) را نمایش می‌دهد. اطلاعات این پایگاه همه ژن‌های شناسایی شده انسان، موش و رت را پوشش می‌دهد و شامل یک الگوریتم جدید به نام MirWalk و ۱۲ برنامه از پیش‌طراحی شده است. در این پایگاه، با وارد کردن نام ژن یا miRNA و انتخاب انداموازه مدنظر می‌توان به اطلاعات پیش‌بینی شده دسترسی پیدا کرد (۱۶). بر اساس مطالب یادشده و با توجه به این امر که بسیاری از پایگاه‌های داده بدون اطلاعات برهمنش مرتبط با انداموازه موش هستند، دو پایگاه برگزیده برای انتخاب miRNA‌های مناسب بررسی شدند.

پایگاه DIANA-TOOLS: پس از استخراج miRNA‌های هدف از دو پایگاه داده‌ای MirWalk و TargetScan، TargetScan میان دو پایگاه داده برای بررسی بیشتر انتخاب گردیدند. به‌منظور یافتن miRNA‌های هدف برای انتخاب، از پایگاه IncRNA داده‌ای DIANA-TOOLS استفاده کردیم که یک سورس وب است و میزان برنامه‌های کاربردی و پایگاه داده‌های پیشرفته برای تحقیقات کاربردی miRNA است. برنامه‌های در دسترس دامنه وسیعی از نیازهای مختلف و



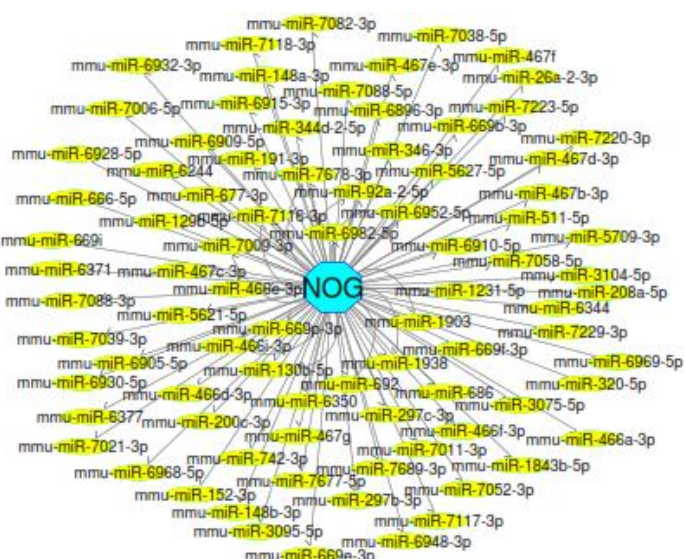
شکل شماره ۱. شبکه ژنی میان miRNA و BMP4 از پایگاه داده‌ای TargetScan و MirWalk استخراج شد؛ سپس miRNA‌های مشترک میان دو پایگاه داده‌ای انتخاب و با استفاده از نرم‌افزار Cytoscape، شبکه ژنی mRNA-miRNA برای ژن BMP4 رسم گردید.



شکل شماره ۲. شبکه ژنی میان mRNA های هدف آن FGF8 از پایگاه داده ای TargetScan و MirWalk استخراج شد؛ سپس میان دو پایگاه داده ای انتخاب و با استفاده از نرم افزار Cytoscape، شبکه ژنی mRNA–mRNA برای ژن FGF8 رسم گردید.

سپس، همه mRNA های هدف برای ژن NOG در سایت TargetScan و MirWalk انتخاب شد؛ پس از آن، میان دو پایگاه داده با استفاده از نرم افزار Sytoscape انتخاب و شبکه ژنی مربوطه ترسیم گردید (شکل شماره ۳).

در مرحله بعدی، همه mRNA های هدف برای ژن FGF8 در سایت TargetScan و MirWalk انتخاب شد؛ سپس میان دو پایگاه داده با استفاده از نرم افزار Sytoscape و شبکه ژنی مربوطه ترسیم گردید (شکل شماره ۲).

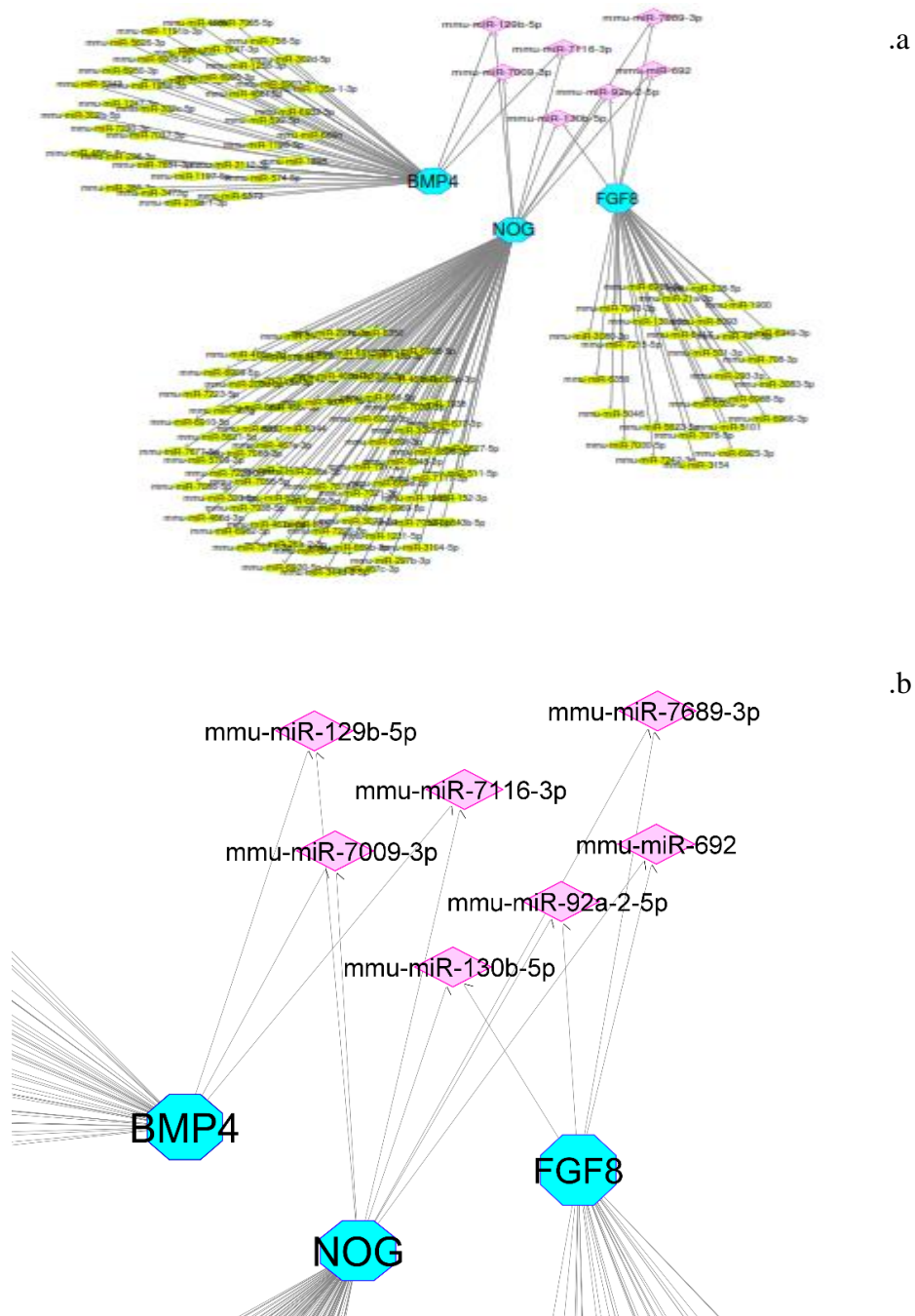


شکل شماره ۳. شبکه ژنی میان mRNA های هدف آن BMP4 از پایگاه داده ای TargetScan و MirWalk استخراج شد؛ سپس میان دو پایگاه داده ای انتخاب و با استفاده از نرم افزار Cytoscape، شبکه ژنی mRNA–mRNA برای ژن BMP4 رسم گردید.

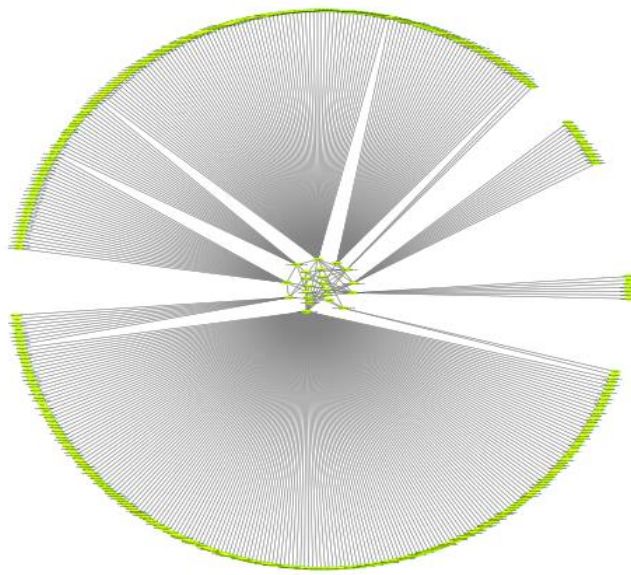
DIANATOOLS آنها با استفاده از پایگاه داده‌ای miRNA که امتیاز مناسب $> 95\%$ داشتند، انتخاب و با استفاده از نرم‌افزار sytoscape شبکه miRNA: lncRNA ترسیم شد. در مرحله پایانی، lncRNA‌های مشترک میان آنها برای بررسی بیشتر انتخاب گردید (شکل شماره ۵ و ۶).

در مرحله نهایی، miRNA‌هایی که در دو پایگاه داده‌ای NOG و MirWalk میان ژن‌های BMP4، FGF8 و TargetScan مشترک بودند، به عنوان mRNA‌هایی انتخاب شدند که به احتمال بسیار ژن‌های مدنظر را هدف قرار می‌دهند (شکل شماره ۴).

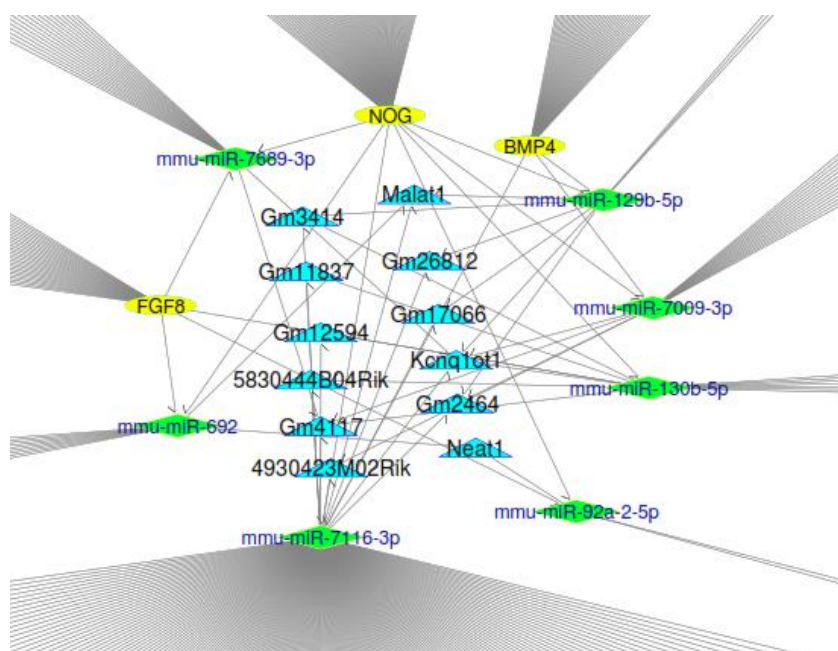
در مرحله بعدی، lncRNA‌های مربوط به هر کدام از



شکل شماره ۴. mRNA‌های مشترک میان سه ژن BMP4، NOG و FGF8 پس از ترسیم شبکه ژنی mRNA-miRNA و FGF8، BMP4 برای سه ژن NOG و FGF8، BMP4 انتخاب شدند. تصویر a شماتیک کلی است. تصویر b جزئی از شکل a است که برای نمایش جزئیات بیشتر آورده شده است. پنج ضلعی‌های آبی mRNA و لوزی‌های بنفش miRNA هستند.



شکل شماره ۵. شبکه ژنی mRNA-miRNA-lncRNA (mRNA-miRNA-lncRNA) CeRNA برای سه ژن یادشده BMP4، NOG و FGF8 با استفاده از نرم افزار Cytoscape رسم گردید.



شکل شماره ۶. شبکه ژنی میان lncRNA های منتخب از سایت DIANATOOLS که امیاز <۹۵٪ داشتند، استخراج و شبکه ژنی lncRNA-miRNA با استفاده از نرم افزار Cytoscape ترسیم شد. دایره های زرد نگ نشان دهنده mRNA و لوزی های سبز نگ نشان دهنده lncRNA ها است.

بحث و نتیجه گیری

در این مطالعه که بر اساس داده های مارکرهای مسیر اکنودرمی و با استفاده از روش های بیوانفورماتیکی صورت گرفت، یک شبکه ژنی mRNA-miRNA-lncRNA با استفاده از نرم افزار Cytoscape ترسیم گردید.

درنهایت، شبکه mRNA-miRNA-lncRNA برای ژن های مدنظر ترسیم گردید. طبق مطالعات صورت گرفته، از میان lncRNA های منتخب، تنها KNCQOT1 و NEAT1 نقش های مهمی داشتند که برای بررسی بیشتر انتخاب شدند.

(۲۰)، mmu-miR-708-3P در روند سامانه ایمنی بدن و همچنین miR-501-3P در تمایز میوبلاست‌ها نقش ایفا می‌کند.(۲۱).

از میان میکروRNAهای هدف NOG که در شکل شماره ۳ نشان داده شده است، چندین میکروRNA بررسی شد که نشان داد طبق پیش‌بینی‌ها، این ژن در تمایز سامانه عصبی نقش دارد؛ مثلاً mmu-miR-346-3P در توسعه سامانه عصبی از جمله تمایز نورون‌ها و دندریت‌ها، mmu-miR-200-3p در مسیر پاسخ‌های ایمنی و mmu-miR-148b-3p در فرایندهای بیولوژیکی متعددی مانند التهاب، متابولیسم و مرگ سلولی تأثیر بسیاری دارند(۲۱).

پس از بررسی‌ها مشخص شد که نواحی ۳ کاندیدای قوی برای miRNAها هستند و در ادامه، میکروRNAهای مشترک میان سه ژن از لحاظ عملکرد بررسی شد. بر اساس نتایج، احتمالاً mmu-miR-7689-3p در سامانه عصبی و تمایز استخوان‌ها (۲۲) و mmu-miR-7116-3p در تنظیم ترجمه، پاسخ سلولی به دارو، سامانه عصبی (۲۳) و mmu-miR-692 در روئویسی (۲۴) و mmu-miR-7009-3p در روئویسی، تمایز، چرخه و تکثیر سلولی (۲۵) و mmu-miR-130b-5p در پاسخ‌های سلولی به عامل LIF درک حس صدا و mmu-miR-129b-5p در تکثیر و تمایز و mmu-miR-92a-2-5p در بسیاری از فرایندها از جمله تنظیم بیان ژن، پاسخ سلولی به عامل LIF، سامانه عصبی و درک حس صدا نقش دارند(۱۶، ۲۶).

در تنظیم بیان ژن علاوه بر miRNA، مؤلفه‌های دیگری همچون lncRNAها نیز نقش ایفا می‌کنند. در سلول‌های پستانداران، بخش عمده‌ای از فرایندهای RNA تولیدشده، RNAهای غیر کدکننده پروتئین یا lncRNA هستند که ظاهراً هیچ پروتئینی را کد نمی‌کنند. بسیاری از lncRNAها برای تولید RNAهای فعال کوچک مانند snoRNA، piRNA، siRNA، miRNA و tRNA را پردازش مولکولی می‌کنند. علاوه بر این، رده‌های متفاوت از lncRNAها، از طریق میان‌کنش‌های مولکولی با DNA و نیز پروتئین‌ها، در فرایندهای حیاتی مانند کنترل

که از ۴۱۵ گره و ۴۳۹ لبه تشکیل شده است و نمایانگ شبکه پیچیده‌ای از آثار تنظیمی میان lncRNA و miRNAها با ژن‌های هدف NOG، BMP4 و FGF8 است. تمایز اکتودرمal به شبکه‌ای از مسیرهای سیگنالینگ نیاز دارد که از نظر زمانی و مکانی بسیار پویا هستند. علاوه بر این، ماهیت سلولی تنها در اثر یک مولکول سیگنالینگ تعیین نمی‌شود، بلکه به شدت و ترکیب سیگنال‌ها و قابلیت سلول برای پاسخ دادن به این سیگنال‌ها بستگی دارد؛ بنابراین تصور می‌شود که مشخصات بافت در چند مرحله اتفاق می‌افتد و توسط یک شبکه پویا از مسیرهای سیگنالینگ بیان می‌شود. در بخش زیر، مسیرهای اصلی سیگنالینگ در گیر در الگوی خارج رحمی، به‌ویژه سیگنالینگ FGF، BMP و NOG مسیر سیگنالینگ پروتئین BMP است.

میکروRNAها بیان ژن‌ها را پس از روئویسی از طریق تجزیه mRNA یا مهار ترجمه آن‌ها کنترل می‌کنند. این فرایند از طریق اتصال آن‌ها از ناحیه ۵'-UTR(Un-translated region) خود، تحت عنوان سید mRNA (Seed)، به ناحیه ترجمه‌نشدنی انتهای ۳'-Mboط mRNA (3'-UTR) مورد هدف انجام می‌دهند. میکروRNAهای ۳'-UTR (3'-UTR) هدف برای ژن BMP4 که در شکل شماره ۱ نشان داده شده است، از ناحیه ۳'-UTR به ۳'-UTR متصل می‌شود و در بسیاری از فرایندهای بیولوژیکی مانند تکثیر سلولی، تمایز و... نقش ایفا می‌کنند. طبق تحقیقات، طیف میکروRNAهای مانند miR-378 و miR-24 و miR-19b در مسیر سیگنالینگ TGF-B اثر می‌گذارند و بیان نابهای آن‌ها با بسیاری از بیماری‌ها ارتباط نزدیکی دارد(۱۶-۱۸).

شبکه ژنی ژن FGF8 و miRNAهای هدف آن در شکل شماره ۲ آورده شده است. همه mRNAها از ناحیه ۳'-UTR با mRNA seed می‌شوند و وظایف معینی دارند؛ به عنوان مثال، mmu-miR-293-3p احتمالاً از طریق فعال‌سازی مسیر سیگنالینگ PI3K در تمایز ESC‌ها (۱۹) و mmu-miR-92a-2-5p در آپاتوز سلولی، همانندسازی

از طریق بقای mRNAهای پردازش شده در هسته قادرند بیان ژن را در سطح پس از رونویسی تنظیم کنند. به طور کلی، هر هسته شامل چندین Paraspeckle است که برای پیشبرد رونویسی توسط RNA پلی مراز II، Paraspeckle ناپدید می‌شوند. تشکیل و حفظ ساختارهای Paraspeckle نیازمند وجود یک lncRNA NEAT1 است که منحصرآ در Paraspeckle به نام NEAT1 است. مشاهده شده است. NEAT1 در سلول‌های بنیادی Paraspeckle در سلول‌های NEAT1 جنینی دیده نمی‌شوند؛ اما پس از تمایز این سلول‌ها پدید می‌آید که مطابق با زمان بیان و فعالیت NEAT1 است. علاوه بر این، تخلیه NEAT1 یک عملکرد با کفايت برای نبود Paraspeckle در هسته و افزایش بیان NEAT1 است و اما به افزایش پروتئین‌های سازنده Paraspeckle منجر می‌شود. این امر نشان‌دهنده نقش ضروری و کلیدی NEAT1 در تشکیل و یا تمامیت ساختاری Paraspeckle است (۲۷)؛ همچنین این lncRNA در فرایندهای سلولی دیگر نیز دخیل هستند که در جدول شماره ۱ آورده شده است.

بیان ژن و نیز کنترل فرایندهای ترجمه نقش مهمی دارند (۳).

طبق تحقیقات انجام شده، نقش lncRNAها در تنظیم الگوی بیان ژن نشان‌دهنده پیجیده بودن سازوکار کنترلی آن‌ها است، به نحوی که این مولکول‌ها در سطوح مختلفی از تنظیم بیان ژن، مشتمل بر تنظیم در سطح رونویسی و نیز پس از رونویسی درگیر هستند. lncRNAها با miRNAها همکاری دارند، بدین صورت که تعدادی از lncRNAها در جهت همسو و یا معکوس با فعالیت مولکول‌های miRNAها عمل می‌کنند و از این طریق، در فعال‌سازی و lncRNA یا مهار بیان ژن نقش مهمی دارند؛ به طور مثال، lncRNA Kcnq1ot1 به صورت cis عمل می‌کند و Malat1 که اولین بار در ارتباط با متاستاز شناخته شد، یک lncRNA است که نقش کلیدی در پردازش متنابض pre-mRNA ایفا می‌کند (۲۶).

فعالیت lncRNAها در کنترل انتقال مولکول‌ها میان هسته و سیتوپلاسم بررسی شده است و طبق مطالعات، ساختارهای هسته‌ای پویا تحت عنوان Paraspeckle،

جدول شماره ۱. بعضی از نقش‌های lncRNAهای NEAT1، MALAT1 و Kcnq1ot1

نام lncRNA	نقش
MALAT1	<p>سازمان‌بندی اجزای هسته‌ای</p> <p>تنظیم رشد و نمو، چرخه سلولی، تکثیر سلولی و مهاجرت سلولی</p> <p>تنظیم مثبت تکثیر میوبلاست</p> <p>تنظیم mRNA Splicing از طریق اسپلیکوزوم</p> <p>تنظیم سیناپس (۲۸)</p>
NEAT1	<p>حافظت سلولی</p> <p>تنظیم کننده ترجمه چندین ژن از جمله ژن‌های درگیر در سرطان</p> <p>حفظ حالت پایدار عملکردی یا ساختاری سلول</p> <p>سازمان‌بندی هسته</p> <p>پاسخ به محرک‌ها در مقابل آسیب‌های ارگانیسم</p> <p>شرکت در ساختمان paraspeckles و nuclear body (۲۹)</p>
Kcnq1ot1	<p>خاموش کردن ژن</p> <p>هاپرمتیلاسیون جزایر CPG</p> <p>حفظ متیلاسیون DNA</p> <p>تنظیم بیان ژن توسط پدیده برداشت ژنومی</p> <p>اتصال کروماتین و اتصال بروتین (۳۰)</p>

برای ادامه مطالعه و نیز پی بردن به نقش احتمالی آن‌ها در مهار و یا افزایش بیان ژن‌های دخیل در تمایز اکتودرمی بررسی شدند.

با توجه به نتایج به دست آمده از پایگاه‌ها می‌توان اذعان داشت که احتمالاً miRNAهای mmu-miR-92a-2-5p، mmu-miR-130b-5p، mmu-miR-129b-5p، mmu-miR-7116-3p، mmu-miR-7009-3P، miR-692 و mmu-miR-7689-3p برهم‌کنش قوی با ژن‌های FGF8، NOG و BMP4 داشتند که در مسیر تمایز سلول‌های بنیادی جنبی به لایه زیایی اکتودرمی نقش دارند. طبق پایگاه‌های DIANATOOLS و lncRNA DIANATOOLS، طبق NEAT1 و MALAT1 KNCQ0T1 دخیل‌اند و از این طریق، در سازوکارهای مختلف سلولی از جمله تنظیم ییان ژن‌ها، متابولیسم‌های سلولی، ساختار اجزای هسته سلول و همچنین در رشد و نمو طبیعی سلول‌ها و در برخی موارد در رشد تومور و پیشرفت سرطان می‌توانند نقش داشته باشند. اگرچه تأیید این پیش‌بینی‌های محاسباتی منوط به بررسی بیان این miRNAها و به تعیین آن، بررسی ارتباط میان این دسته از miRNAها و lncRNAهای هدف آن‌ها است.

تشریف و قدردانی

بدینوسیله از زحمات عزیزانی که در نگارش این مقاله همکاری داشتند، تشکر و قدردانی می‌گردد.

تعارض منافع

نویسنده‌گان مقاله هیچ گونه تعارض منافعی ندارند.

کد اخلاق: طرح مذکور با شماره پ/۲/۲۱۵۶۰/۱۰۰ در
دانشگاه تبریز تصویب شده است.

در رابطه با آنها اطلاعات کافی در دسترس نیست؛ اما استفاده از ابزارهای پیشگویی کننده miRNA:lncRNA بیانفورماتیکی و تأیید هدف‌های ژنی نقش مهمی در انتخاب صحیح، سریع و کم‌هزینه‌تر نسبت به روش‌های آزمایشگاهی دارد که بعدها می‌توان آن را به طور تجربی نیز تأیید کرد. تعداد فراوانی از این ابزارها به وجود آمده است؛ اما یک چالش مهم در استفاده از آن‌ها این است که هریک از ابزارهای با الگوریتم خاص خود، نتایج مجزایی را پیش‌بینی می‌کنند و انتخاب lncRNA و miRNA ابزارهای مناسب از طریق بیانفورماتیک را مشکل می‌سازند.

در بررسی حاضر، در رهیافتی نوین و به منظور صرفنظر کردن از هزینه‌های گراف microarray و روش‌های مشابه، اساس انتخاب miRNAها بر پیش‌بینی برهم‌کنش‌های قوی آن‌ها با ژن‌های مهمی همچون FGF8 و NOG، BMP4 این مطالعه پس از انتخاب ژن‌های هدف، تعدادی از miRNAهای اثرگذار بر این ژن‌ها با استفاده از پایگاه‌های TargetScan و MirWalk اگرچه جستجو شده بدین منظور، ابتدا با استفاده از الگوریتم‌های مذکور بر ژن‌های NOG، BMP4 و FGF8 میان آن‌ها، این miRNAهای مؤثر و مشترک بر هر سه ژن برای بررسی بیشتر انتخاب گردیدند؛ زیرا طبق نتایج حاصل از پایگاه‌ها، این miRNAها توانایی ایجاد برهم‌کنش قوی با ژن‌های NOG، BMP4 و FGF8 داشتند؛ بنابراین انتخاب شدند تا در مرحله بعدی، این miRNAها با استفاده از پایگاه DIANATOOLS داده‌ای استخراج گردد که درنهایت، MALAT1 lncRNAهای هدف، NEAT1 lncRNAهای هدف، Kcnq1ot1 و NEAT1 lncRNAهای هدف، که قوی‌ترین برهم‌کنش را داشتند و همچنین از آن‌ها اطلاعات کم‌وپیشی، در دسترس بود،

References

- Zhou R-S, Zhang E-X, Sun Q-F, Ye Z-J, Liu J-W, Zhou D-H, et al. Integrated analysis of lncRNA-miRNA-mRNA ceRNA network in squamous cell carcinoma of tongue. *BMC cancer*. 2019;19:1:1-10. doi: 10.1186/s12885-019-5983-8.
 - Huang R, Wu J, Zheng Z, Wang G, Song D, Yan P, et al. The construction and analysis of ceRNA

- network and patterns of immune infiltration in mesothelioma with bone metastasis. *Front Bioeng Biotechnol.* 2019;7:257. doi: 10.3389/fbioe.2019.00257.
3. He J-H, Han Z-P, Zou M-X, Wang L, Lv YB, Zhou JB, et al. Analyzing the LncRNA, miRNA, and mRNA regulatory network in prostate cancer with bioinformatics software. *J Comput Biol.* 2018;25:2:146-57. doi: 10.1089/cmb.2016.0093.
 4. Zhang X, Wang W, Zhu W, Dong J, Cheng Y, Yin Z, et al. Mechanisms and functions of long non-coding RNAs at multiple regulatory levels. *Int J Mol Sci.* 2019;20:22:5573. doi: 10.3390/ijms20225573.
 5. Menolfi D, Zha S. ATM, ATR and DNA-PKcs kinases—the lessons from the mouse models: inhibition≠ deletion. *Cell Biosci.* 2020;10:1:1-15. doi:10.1186/s13578-020-0376-x.
 6. Schmierer B, Hill CS. TGF β -SMAD signal transduction: molecular specificity and functional flexibility. *Nat rev Mol cell bio.* 2007;8:12:970-82. doi: 10.1038/nrm2297.
 7. Gerrard L, Rodgers L, Cui W. Differentiation of human embryonic stem cells to neural lineages in adherent culture by blocking bone morphogenetic protein signaling. *Stem cells.* 2005;23(9):1234-41. doi: 10.1634/stemcells.2005-0110.
 8. Britton G, Heemskerk I, Hodge R, Qutub AA, Warmflash A. A novel self-organizing embryonic stem cell system reveals signaling logic underlying the patterning of human ectoderm . *Development.* 2019;146:20:dev179093. doi: 10.1242/dev.179093.
 9. Zhang Y, Yu F, Bao S, Sun J. Systematic characterization of circular RNA-associated CeRNA network identified novel circRNA biomarkers in Alzheimer's disease. *Front Bioeng Biotechnol.* 2019;7:2.. doi: 10.3389/fbioe.2019.00222
 10. Kitano H. Systems biology: a brief overview. *science.* 2002;295(5560):1662-4.doi: 10.1126/science.1069492.
 11. Riffó-Campos ÁL, Riquelme I, Brebi-Mieville P. Tools for sequence-based miRNA target prediction: what to choose? *Int J Mol Sci.* 2016;17:۱۲:۱۹۸۷. doi: 10.3390/ijms17121987
 12. Friedman RC, Farh KK-H, Burge CB, Bartel DP. Most mammalian mRNAs are conserved targets of microRNAs. *Genome Res.* 2009;19:1:92-105. doi: 10.1101/gr.082701.108
 13. Agarwal V, Bell GW, Nam J-W, Bartel DP. Predicting effective microRNA target sites in mammalian mRNAs. *elife.* 2015;4:e05005. doi: 10.7554/elife.05005.
 14. Dweep H, Gretz N. miRWalk2. 0: a comprehensive atlas of microRNA-target interactions. *Nature methods.* 2015;12(8):697-. doi:10.1038/nmeth.3485
 15. Vlachos IS, Hatzigeorgiou AG. Functional analysis of miRNAs using the DIANA tools online suite. *Drug Target miRNA:* Springer; 2017. p. 25-50. doi: 10.1007/978-1-4939-6563-2_2.
 16. Gallo A, Agnese V, Coronello C, Raffa GM, Bellavia D, Conaldi PG, et al. On the prospect of serum exosomal miRNA profiling and protein biomarkers for the diagnosis of ascending aortic dilatation in patients with bicuspid and tricuspid aortic valve. *Int J Cardiol.* 2018;273:230-6. doi: 10.1016/j.ijcard.2018.10.005.
 17. Valenti MT, Deiana M, Cheri S, Dotta M, Zamboni F, Gabbianni D, et al. Physical exercise modulates miR-21-5p, miR-129-5p, miR-378-5p, and miR-188-5p expression in progenitor cells promoting osteogenesis. *Cells.* 2019;8:7:742. doi: 10.3390/8070742
 18. Brandon-Warner E, Benbow JH, Swet JH, Feilen NA, Culberson CR, McKillop IH, et al. Adeno-Associated Virus Serotype 2 Vector-Mediated Reintroduction of microRNA-19b Attenuates Hepatic Fibrosis. *Hum gene ther.* 2018;29:6:674-86. doi: 10.1089/hum.2017.035.
 19. Rey F, Barzaghi B, Nardini A, Bordoni M, Zuccotti GV, Cereda C, et al. Advances in tissue engineering and innovative fabrication techniques for 3-D-structures: translational applications in neurodegenerative diseases. *Cells.* 2020;9:7:1636. doi: 10.3390/cells9071636.
 20. Gu Q-H, Yu D, Hu Z, Liu X, Yang Y, Luo Y, et al. miR-26a and miR-384-5p are required for LTP maintenance and spine enlargement. *Nat Commun.* 2015;6:1:1-15.doi: 10.1038%2Fncomms7789
 21. Duarte Ramos Matos G. Free Energy Calculations in Action: Theory, Applications and Challenges of Solvation Free Energies: UC Irvine; 2018.
 22. Weng J, Zhang P, Yin X, Jiang B. The whole transcriptome involved in denervated muscle atrophy following peripheral nerve injury. *Front Bioeng Biotechnol.* 2018;11:69. doi: <https://doi.org/10.3389/fnmol.2018.00069>
 23. He Q, Wang Q, Yuan C, Wang Y. Downregulation of miR-7116-5p in microglia by MPP+ sensitizes TNF- α production to induce dopaminergic neuron damage. *Glia.* 2017; 65:8:1251-63. doi: 10.1002/glia.23153.
 24. Pei W, Tao L, Zhang LW, Zhang S, Cao J, Jiao Y, et al. Circular RNA profiles in mouse lung tissue induced by radon. *Environ Health Prev Med.* 2017;22:1:1-10. doi: 10.1186/s12199-017-0627-6.
 25. Wang S, Xu Z, Wang L. Shuanghuang Shengbai granule cures myelosuppression and suppresses lung cancer progression: Mechanism and therapeutic targets from the aspect of microRNAs. *Oncotarget.* 2017;8:37:62154. doi: 10.18632/oncotarget.19129.
 26. Bhat SA, Ahmad SM, Mumtaz PT, Malik AA, Dar MA, Urwat U, et al. Long non-coding RNAs: Mechanism of action and functional utility. *Noncoding RNA Res.* 2016;1. doi: 10.1016/j.ncrna.2016.11.002
 27. Lin Y, Schmidt BF, Bruchez MP, McManus CJ. Structural analyses of NEAT1 lncRNAs suggest long-range RNA interactions that may contribute to paraspeckle architecture. *Nucleic Acids Res.* 2018;46:7:3742-52. doi: 10.1093/nar/gky046.
 28. Антонова Е. Морфометрические показатели ультраструктурных проявлений reparativной регенерации в печени черепах вида *Trachemys scripta elegans* после действия гипертермии. *Вестник Балтийского федерального униве рситета им И Каца Серия: Естественные и медицинские науки.* 2008;7.
 29. Clemson CM, Hutchinson JN, Sara SA,

- Ensminger AW, Fox AH, Chess A, et al. An architectural role for a nuclear noncoding RNA: NEAT1 RNA is essential for the structure of paraspeckles. *Mol Cell.* 2009;33:6:717-26. doi: 10.1016/j.molcel.2009.01.026.
30. Thakur N, Tiwari VK, Thomassin H, Pandey RR,
- Kanduri M, Göndör A, et al. An antisense RNA regulates the bidirectional silencing property of the Kcnq1 imprinting control region. *Mol cell biol.* 2004;24:18:7855-62. doi: 10.1128%2FMCB.24.18.7855-7862.2004